

プレートガーダーの連成座屈実験

石川高専 正○前川幸次

名古屋大学 正 伊藤義人

大阪大学 正 福本勝士

名古屋大学 学 重富寿

1.はじめに

水平補剛材をもたないプレートガーダの腹板の曲げ座屈を支配する最大幅厚比は SS41クラスで152（道路橋示方書）および192（AASHTO, LRFD）となっている。これらは桁の降伏モーメントが達成されることを目標とした限界値であるが、道示は弾性座屈強度を、AASHTOは後座屈強度を基礎としている。腹板は後座屈強度が期待できることから道示の規定が厳しすぎることは最近の研究からも明らかである。しかし最大幅厚比を170～200程度に緩和するにしても、腹板の曲げ座屈を許すことがフランジの水平座屈あるいはねじれ座屈に影響を及ぼすかどうか、すなわち連成座屈強度について明らかにしておく必要がある。ここでは、腹板幅厚比が180のI形プレートガーダーについて腹板の曲げ座屈とフランジの水平座屈を対象とした連成座屈実験を行ったので報告する。

2.実験概要

試験桁は水平補剛材を持たない上下対称のI形プレートガーダーであり、図-1には断面寸法、荷重・境界条件、支間および腹板縦横比を示す。フランジおよび腹板をそれぞれ8mm厚の圧延板材および3.4mm厚のコイル材から溶断したのち手溶接により組立たが、せん断力の作用する腹板（図の■）は5.4mmの圧延板を用いた。荷重は桁の3等分点で腹板の両側に溶接した10mm厚の補剛材に連結した引張Jackで作用させた。また、桁GA1～GA3は支点および載荷点での横方向変形を拘束し、GA0ではその他に垂直補剛材の位置で圧縮フランジの水平変位も拘束した。桁の曲がりおよび腹板のたわみに対してそれぞれプレスおよび点加熱矯正を施した。表-1および2はそれぞれ、圧縮フランジの初期水平変形の最大値 δ_{max} および上下フランジと腹板の接合線を基準にしたときに得られる各パネルの最大たわみ δ_{wmax} を表し、それぞれ支間長 λ および腹板高 h で無次元化されている。溶接組立後と矯正後について示してあり、矯正後の初期たわみは製作許容値 $\lambda/1000$ および $h/250$ を満たしている。

3.実験結果と考察

素材試験の結果、降伏点応力度 σ_y は289 N/mm²（板厚3.4mm）、272 N/mm²（8.0mm）、弾性係数E=208 kN/mm²、ポアソン比 $\nu=0.24$ である。なお残留応力については計測中である。最高荷重における桁の横ねじれ変形については省略するが、桁GA0

Test Girder	L(m)	a/h	Loading & Boundary Conditions	Cross Section
GA0	1.0	0.82		
GA1	1.0	0.82		
GA2	1.5	1.23		
GA3	2.0	1.10		

Fig.1 Test Program

Table 1 Initial Bow of upper Flange

桁名	δ_{max}/ℓ	初期後	矯正後
GA0	1/600	1/1300	
GA1	1/3000	1/3400	
GA2	1/640	1/2200	
GA3	1/3000	1/1500	

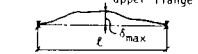


Table 2 Initial Deflection of Web Panel

桁、パネル名	δ_{wmax}/h	初期後	点加熱矯正後
GA0, P1	1/240	1/200	
P2	1/170	1/370	
GA1, P1	1/240	1/440	
P2	1/400	1/440	
GA2, P1	1/110	1/510	
P2	1/90	1/440	
GA3, P1	1/90	1/420	
P2	1/100	1/360	
P3	1/90	1/290	

以外の桁は明らかにフランジの水平座屈（横座屈）が卓越した崩壊モードが認められた。図-2(a)および(b)はそれぞれ桁GA2の一様曲げ部分（パネルP1, P2）の初期たわみおよび付加たわみについて、断面10箇所の上下フランジと腹板の接合点（付加たわみの場合は測定器の関係で接合点から20mm離れた点）を基準にしたときの変形量で表している。初期たわみは各パネルの長手方向にはほぼ1半波である。一方、付加たわみは2半波の傾向を示しており、初期たわみが単純に成長したとは考えにくい。そのときの荷重は桁の耐荷力 M_u の75%および腹板座屈荷重 $M_{wcr(F)}$ （非載荷辺固定）の95%であることから桁GA2においては水平座屈と腹板の曲げ座屈が連成したと考えられる。その他の桁についても最高荷重に達する前に腹板の曲げ座屈現象が生じていたと考えられる。図-3は今回の実験値(Δ , $h/w=180$)と前回の実験値¹⁾(●, $h/w=120$)を耐荷力 M_u/M_y を細長比 $\lambda=\sqrt{(M_y/M_E)}$ で整理したものである。ここに、 M_y は降伏モーメント、 M_E は中間横拘束の影響を考慮した弾性横ねじれ座屈モーメントである。また図中に示した腹板座屈荷重 M_{wcr} は腹板の座屈応力に対応する桁の曲げモーメントであり、次式で表される。

$$M_{wcr} = \sigma_{wcr} I_x / (h/2), \quad \sigma_{wcr} = k \pi^2 E (w/h)^2 / 12 (1 - \nu^2) \quad (1)$$

ここに、 k は純曲げを受ける板の座屈係数であり非載荷辺の支持条件によって、 $k(F)=39.5$, $k(S)=23.9$ を用いた。図中に示した M_{wcr} は腹板幅厚比 $h/w=180$ の桁(Δ)に対するものである。幅厚比 $h/w=120$ (●)については全塑性モーメントに達しても腹板の座屈が起こらない断面を用いて行った横ねじれ座屈実験であり、実験においても最高荷重 M_u に到達するまで明確な腹板の曲げ座屈現象は認められなかった。桁GA0については、変形モードにわずかの水平座屈現象も認められたが、耐荷力は桁の面内強度（水平座屈の影響が含まれている）を表すものと考えられる。図-3の2シリーズの実験結果から、腹板の曲げ座屈は桁の面内強度には大きく影響するものの、フランジの水平座屈には殆ど影響しないようである。ただし、さらに詳細な検討と追加実験により明確にしたい。

本研究は昭和61年度文部省科学研究費(No.61750444)の一部として行われ、実験においては石川高専の学生（桶村、長谷川、本田）諸君に多大の労をお願いした。

参考文献

- 1) 福本ら：モーメント勾配による溶接I形桁の横ねじれ座屈実験、土木学会論文集、No.362/I-4, 1985.

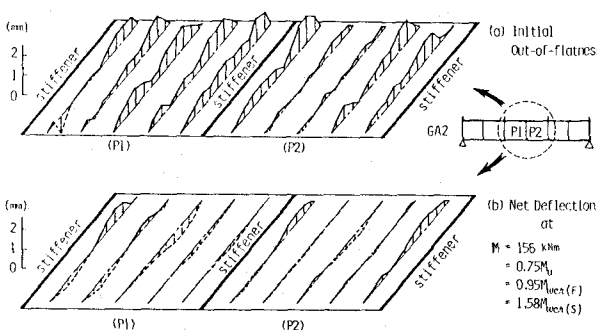


Fig.2 Initial- and Net-Deflection
(GA2-girder)

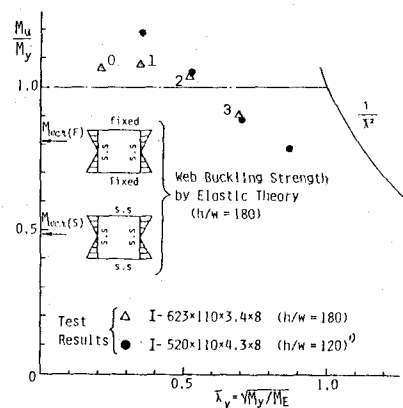


Fig.3 Test Results